

苏联 麦·维·科斯琴柯著

大气过电压 和高压设备的防雷保护

下 册

电力工业出版社



大 气 过 电 压 和 高 壓 設 备 的 防 雷 保 护

下 册

苏联 麦·維·科斯琴柯著
王繼先 李阜正等 譯
黃長敬校

電 力 工 業 出 版 社

内 容 提 要

本書下冊由第二篇（高壓設備的防雷保護）和附錄組成，其主要內容如下：
第二篇敘述大氣過電壓的發生原因，雷和闪电的形成過程；研究輸電線路的防雷保護方法，變壓器及迴轉電機的防雷保護，接地裝置和避雷器的作用等。
附錄介紹運算微積的基本原理和它在電工學上的應用等。
本書可供從事于防雷保護工作的電力工程人員之用。

М. В. КОСТЕНКО
АТМОСФЕРНЫЕ ПЕРЕНАПРЯЖЕНИЯ И ГРОЗОЗАЩИТА
ВЫСОКОВОЛЬТНЫХ УСТАНОВОК
ГОСЭНЕРГОИЗДАТ ЛЕНИНГРАД 1949

大气过电压和高压设备的防雷保护 下册

根据苏联国立动力出版社1949年列宁格勒版翻譯

王繼先 李卓正譯 黃長敬校

*

512D190

电力工业出版社出版(北京市右街26号)

北京市文教出版局發行許可證出字第082号

北京市印刷一厂排印 新华书店發行

*

850×1168 $\frac{1}{2}$ 开本 * 5鋸印張 * 152千字 * 定價(第10类)1.00元

1957年4月北京第1版

1957年4月北京第1次印刷(0001—3,600册)

统一书号：15036·443

定价 1.00 元

目 录

第二篇 高压设备的防雷保护

第八章 大气过电压的發生	3
第 23 节 雷和雷电的形成	4
1.雷的形成	4
2.大气电	5
3.雷电	9
第 24 节 大气过电压和雷电参数	11
第 25 节 直接雷击的保护	17
1.避雷針線	18
2.保护范围	20
3.雷电穿越或然率	25
第九章 漸電綫路的防雷保护	27
第 26 节 耐雷水平与耐雷指标	27
第 27 节 有避雷綫保护的輸電綫路	34
1.穿过避雷綫雷击导綫	34
2.雷击桿頂	35
3.雷击在避雷綫的桿距中間	39
第 28 节 充分利用木質絕緣的綫路	43
第 29 节 利用消弧綫圈的保护作用	49
1.用消弧綫圈的鐵塔綫路保护	49
2.用兩個保护間隙($2 \times \Pi_3$)及消弧綫圈的木桿綫路保护	53
3.用三個保护間隙($3 \times \Pi_3$)及消弧綫圈的木桿綫路保护	56
第 30 节 繩路自動重合閘(АПВ)的保护作用	56
第 31 节 用管型避雷器的綫路保护	58
1.在桿塔上用三個管型避雷器的綫路保护	59
2.在桿塔上用一个管型避雷器的綫路保护	60
第 32 节 綜合的綫路防雷方式	60

第十章 变电所的防雷保护	64
第33节 变电所直接雷击的保护	64
第34节 变电所对进行波的保护方式	68
1. 35—220千伏变电所防雷保护的标准结綫	70
2. 35—220千伏变电所的非标准保护結綫	71
3. 3—10千伏变电所的保护	73
第35节 变电所的等值电路及其計算	74
1. 等值电路的拟制及其参数的选择	74
2. 等值电路各点上的过电压的計算	77
第36节 变电所防雷保护方式的选择及其可靠性的鑑別	87
1. 变电所本身保护的选择	88
2. 被保护的进綫長度的选择	91
3. 进綫保护的选择	92
第十一章 变压器及迴轉电机的防雷保护	93
第37节 变压器繞卷的防雷保护	93
第38节 回轉电机防雷保护的基础	98
第39节 直接与架空綫路连接的电机的防雷保护方式	103
1. 架空进綫	103
2. 鑽地串抗器	109
3. 电缆进綫	109
4. 直接连接于架空綫路上的高压电动机的保护	111
5. 防止感应过电压的电机保护	113
第十二章 接地裝置和避雷器	114
第40节 冲击时的接地裝置电阻	114
第41节 避雷器	120
1. 管型避雷器	121
2. 閘型避雷器	122
3. 统一类型的威利脱閘型避雷器 PBC	124
附录	125
参考文献	182

第二篇 高压设备的防雷保护

第八章 大气过电压的發生

雷电，即集中在雷云中的大气电荷的放电現象，是众所公認屬於最巨大和最有声有色的宇宙現象之列。据初步統計，在地球表面每秒約落 100 余个雷。雷电可伤及人身。由于雷电引起的失火或損傷建築物給国民經濟带来大量的損失。对高压設備來說，雷击的危險很大：輸电綫由于自身延佈很广，常常遭受雷击，而此时所生的过电压超过所有其他过电压。

雷电荷的放电問題，在远古时期就已經有人研究。譬如說，埃及祭司为了“窃取天火”，曾采用包以銅皮的高桿塔。雷雨放电的科学的研究是于十八世紀中叶，由苏联学者 M. B. 罗蒙諾索夫和 D. B. 礼和曼以及富蘭克林和达尼巴尔的工作开始的。在这些工作中曾經實驗證明，雷电是大气中發生的电的現象，且曾提出用高而銳利的铁桿防止雷击。

礼和曼为了研究雷电現象，首先应用了靜電計型的測量仪器，而在 1753 年雷雨时，进行測量中，由于强烈的雷电落于他的裝置上而慘遭牺牲了。罗蒙諾索夫研究了雷云形成的原理和在雷云中的电荷。

近数十年，因为高压电網和無綫电的高度發展，对大气电和雷雨放电的研究，引起了極大的注意，并对人工“雷电”——長火花也进行了研究。

研究結果，詳細叙述于一系列的論文里[文献53,54,55等]。这里我們主要論及的問題是高电压设备絕緣上發生大气过电压直接有关的各問題，和对于送电綫与变电所防雷保护的可靠性上發生重大影响的各問題。

第 23 节 雷和雷电的形成

形成雷云和雷电的第一个科学理論是由 罗蒙諾索夫 在論文“論由电力發生的空中現象”一文中 提出来的[文献 56, 106 頁]。依照这个理論云是由于空气在垂直方向迅速移动，將其中水分冷凝的結果而成的。依照罗蒙諾索夫的理論，大气电的形成是由于上升的和下降的气流中水蒸汽摩擦的結果。罗蒙諾索夫認為雷电就是在雷云內形成的大量电荷对大地的放电。罗蒙諾索夫的理論基本上是与近代的觀点相合的。

1. 雷的形成 雷可区分为三种：热雷，正面雷和冬季雷，但最普遍的是热雷和正面雷。它們几乎仅發生于每年夏季月分，即所謂“雷季”，雷季在苏联大部分地区系从四月到十月。冬季雷的發生極为稀少，且不是所有地区均有。

热雷是發生于極小地区的局部現象，它系由于临近地面的热空气，在一定的地勢和大气的条件下迅速向高的冷空气層移动时形成的(圖 59, a)。其中包含的水分發生凝結且析出潛热因而保持上升热空气与周围冷空气的温度差和比重差，此时發生上升空氣急流。通常热雷發生在下午。

正面雷是在不同溫度的大团空气互撞时形成的。通常这种雷在天气变化时發生，并且包括相当大的区域。在冷空气波的正面，热空气被排挤而上升，冷却而成雷云并發生旋風运动(圖 59, b)。

正面雷可以蔓延到很多公里，比热雷的發生時間較長，且对高压设备危害極大。正面雷与热雷的混合雷也是时常有的。

冬季雷是很稀少而且是短时的現象，然有强烈放电的特性。

雷电活动强度 (интенсивность грозовой деятельности) 对高压设备的防雷保护，有極重要的关系。目前，这强度是以年平均雷电日来表示的，即在某气象台听得到雷的平均日数。这自然远不能够充分地表明雷的活动，因为此时在一个雷电日內怎样也不

能計算到雷的放电强度和一日內的次数，而这次数可能由于雷的强度和雷的延佈、地勢和其他一系列的条件，有極劇烈的变动。此外还要判断是近处雷或远处雷、雷雨日或非雷雨日等等的偶然情况。但作为近似的估計，經證明尚屬正确，且可按地域分为强雷区、中雷区和弱雷区。

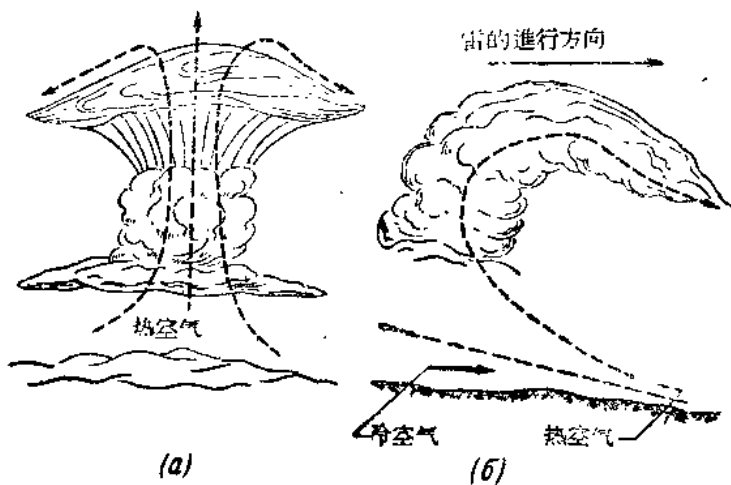


圖 59 雷的發生
a) 热雷；b) 正面雷。

雷在地面上的分佈極不平均，雷最多的地区是赤道地帶；例如在爪哇島地区平均每年有 220 个雷電日，在非洲中部每年有 150 个雷電日。

在溫帶的国家里雷較少，但在这里的个别有限地区也是有極大的雷電日数的。

2. 大气电 大地及其周圍大气的正常帶电状态可在無風和無云的天气下觀察出来。經多次測量，临近地面的“晴天電場”平均值为 $E_0 = -130$ 伏/公尺，几与季节和时间無关，并在地面上不同的各点上，大致相同。根据高斯定理，这電場相当于所有地面上的經常不变的負电荷：

$$q = \epsilon_0 \int_s \vec{E}_0 \cdot d\vec{s} = \epsilon_0 E_0 4\pi R^2$$

$$= \frac{130 \times 4\pi \times 6.37^2 \times 10^{12}}{36\pi \times 10^9} = 6 \times 10^5 \text{ 库伦},$$

因为 $\epsilon_0 = \frac{1}{36\pi \times 10^9} [\phi/m]$, 地球半径 $R = 6370$ 公里。

地面上层的体积电阻率由于土壤的成分和水分的不同为 $10 \sim 1000$ 欧姆·公尺(平均 100 欧姆·公尺), 海水——约 1 欧姆·公尺。靠近地面的空气具有极高的电阻率 $\rho_0 \approx 5 \times 10^{13}$ 欧姆·公尺, 然而当离地面高度增大时, 它开始慢慢地, 然后越来越快地减低。在离地面高度约 80 公里时(游离层), 空气的电阻率约为 10 欧姆·公尺。此时地面和游离层表面彷彿是带有电位差 U_0 约 200 千伏的两个巨大球形电容器的极面, 并且地面带有负的电荷。

由于存在着电场和空气的传导, 这电容器两极面之间有电流通过, 电流密度为

$$j_0 = -\frac{E_0}{\rho_0} = -\frac{-130}{5 \times 10^{13}} = -2.6 \times 10^{-12} \text{ 安/公尺}^2,$$

整个地面的全部电流 $I_0 \approx 1300$ 安。“晴天电场”的发电总容量 $P_0 = U_0 I_0 = 2 \cdot 10^5 \times 1.3 \times 10^3 = 260$ 千瓦。

在高压设备上, “晴天电场”不引起任何显著的过电压, 但是在雷云电荷的形成上它却起了重要的作用。为了阐明地球藏有电荷, 提出了许多的理论[文献57], 同时雷电入地大多数具有负极性, 这对阐明地球藏有电荷也起了重要的作用。

雷电现象破坏了正常的大气电气状态, 构成当地体积的阳电荷和阴电荷的大量集中, 具有大梯度的电场和数千万伏的电位差。

为了阐明在雷云内电荷的形成和聚集过程, 已在 H. C. 斯吉克尼柯夫[文献 53, 54], M. A. 巴克和 H. H. 尼古拉耶夫斯卡娅[文献 55]等等的著作里提出了许多理论。“点滴分裂”(即水滴分裂)和“影响及选择冲撞”的理论最为普及。现在简要地说明在下面。但是无论是这些理论也好, 或者是其他的理论也好, 总是与试验结果有某些矛盾的。显然, 云内电荷构成的实际过程是在一

系列的矛盾因素的影响下发展起来的，并且由于当地的条件，其中某些因素是佔优势的。

云内电荷构成的理論

表 8

理論名称、年代和作者	带电过程	引起带电的原因	云内电荷的分佈
“摩擦”論(1753) M. B. 罗蒙諾索夫	上升气流中蒸气部分的摩擦	上升气流,重力,摩擦力	
“影响”論(1885) 艾尔斯吉尔和盖吉尔	极化点滴的冲撞	上升气流,重力,晴天电场	峰尖+根基-
“点滴分裂”論 (1909) 西姆生	雨点分裂	上升气流,重力	峰尖+根基+
“影响及选择冲撞”論(1921) 威尔逊	极化点滴与空气阴离子的选择冲撞	上升气流,重力,晴天电场,空气离子电荷	峰尖+根基-
“蒸发和凝结”論 (1935) 供恩	蒸发和凝结时点滴的带电	温度差和压力差,上升气流,重力	峰尖+根基-
“光效应”論(1935) 道兹尔	干冰的光效应	日光紫外线,上升气流,温度差,重力	峰尖+根基-
“动平衡”論(1946) Я. И. 福伦盖尔	带阳电荷空气与带阴电荷水滴的相互作用	上升气流,重力	峰尖+根基-

“点滴分裂”論是以林納爾特(Ленард)效应为根据的(当点滴分裂时,其主要部分带阳电,而轻的脱离部分带阴电)。在有大的空气速度垂直分量的B区域内(圖 60)产生水滴分裂,同时阴电的轻飞沫借风力带向上去(圖 60 A 区域),而阳电的重点滴就构成带阳电荷的B区域。最大的集中电荷是在B区域内,从这里应有阳极性雷击。“点滴分裂”論曾获得广泛的流行,但是与试验事实相矛盾,在平原地区大多数雷电放电具有阴极性。

“影响及选择冲撞”論假設水点因“晴天电場”而極化，并且下面的陽电荷部分当水点下降时吸引空气的自由陰离子并排斥空气的自由陽离子。此时水点的总电荷将是陰电荷并促使随后下降的水滴更加帶电。但这种理論不能說明云中陽电荷的局部集中和陽極性雷电放电。

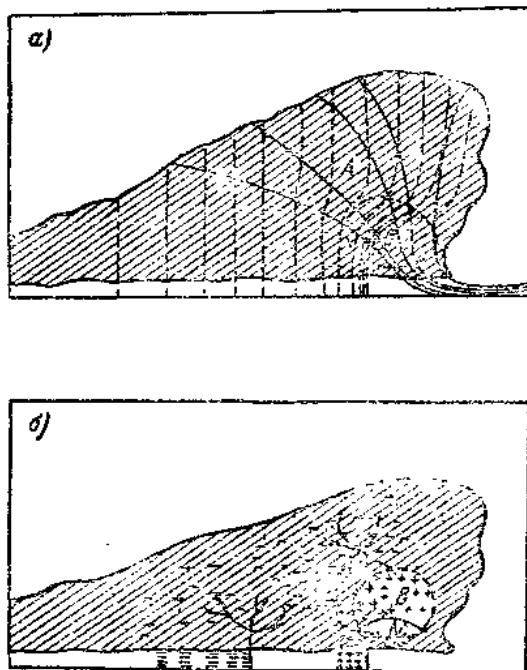


圖 60 雷云中电荷構成圖

a)構成雷云的气象条件; b)依照“点滴分裂”論在云及雨內电荷的分佈。

- 热气流綫;
- 雨点下降方向;
- (○) 水点分裂区域;

A—陰电荷区域; B—具有集中陽电荷的雷电中心。

大气电形成的原始理論是由 Я. И. 福偷盖尔 [文献 58] 提出的。照此理論，大气电場發生器就是云及其帶陰电荷的雨点或冰

点，这些雨点或冰点在周围带阳电的空气中由于重力作用而向下降落。这种现象伴随着在云的上层边缘和下层边缘连接不断的阴阳电荷的分离，以及由于通过地表面的电流而致的不断的电荷消失。但因缺乏足够数据，暂难断定这种理论的正确性。

3. 雷电 雷电放电可能有各种不同的外形。介于云与地面或云与云间，放电的形状为狭窄的光亮条带称为“线状雷”。线状雷具有许多变形：如带状雷（几个平行带）和分支雷等等。球状雷——发亮光的可动凸面体，其出没原因尚不明，是一个特别缺乏研究的现象。无声放电（爱尔马望火等等）是由于落雷时强大电场在接地凸出部分产生的。

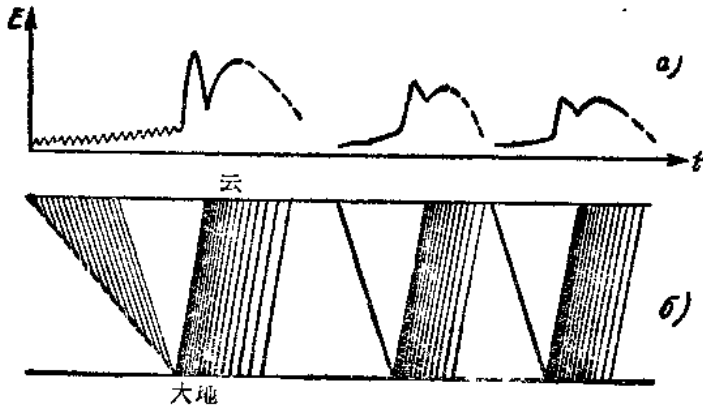


圖 61 雷电多次放电典型發射圖
a) 地面电场强度波形圖；b) 当膠片由右向左时在博依斯攝影机內的雷电照像。

线状雷是最常遇到的而且引起最危险的大气过电压。其余类型的放电比较不常遇到，就不在这里来研究了。

在 30 年代，广泛地使用博依斯摄影机（有特殊装置的照像机装有物体迅速移动的摄影胶片）和记录高周波电流的阴极示波器 [文献 53—55]之后，就热烈地展开了雷电物理性质的研究。根据苏联的 B. C. 考密尔柯夫，B. A. 拉姆登，I. S. 斯吉哥尔尼柯夫等人，非洲的生命特，美国的马契克朗那等人的研究，说明雷电的发展在大多数情况下是按照图 61 进行的。通常雷电系由一

系列的短时间放电所組成，在放电中間有相当大的間隔几乎無电流。

很显然，这是因为雷云是完全的絕緣体。其中几乎無自由离子，而新構成的离子和电子迅速地被水点所吸收，消失了自身的活动，并形成極小可动性的体积电荷。假若某些部分云層向大地放电，则依靠云內部分放电的發展，空气的运动等等恢复电荷，是需要相当長時間的。

每个单独的放电系由前驅放电过程或先导过程和主放电所構成。

初放电的前驅放电过程，照例是按逐級击穿(先导)發展，且由一系列的部分击穿所組成，这些部分击穿是自云到地逐步相繼击穿和使大气層遊离的。在構成击穿的雷道極为接近地面时，从某一凸出的接地物体，可構成自地面向雷云的迎面雷道。在从雷云来的雷道到达地面后，或从雷云和自地面而来的雷道相遇时，产生从地面到雷云的主放电。初放电大都是陰極性，而且雷电流常为最大波峯值。

相隨的前驅放电过程，通常系按从雷云到地面的方向連續發展的一个击穿雷道(連續击穿)所組成，此后即从地面到雷云發生主放电。然而，它們之間有大的間隔时，相隨的前驅放电过程也可由許多的逐級部分击穿所組成。相隨的放电極性大部是陰極性，但也时常測出陽極性来。И. С. 斯吉哥爾尼柯夫的研究指出，初放电的前驅放电过程，同样能够由一个連續發展的击穿雷道所組成。

研究雷电發展的个别阶段，是以靜止的 和迅速移動的膠片(博依斯攝影机)同时照像的方法进行的。

知道雷电距离和博依斯攝影机中膠片移动速度及映像移位的大小，可求出放电个别部分的前进速度：逐級击穿的有效發展速度約為 1000 公里/秒，連續击穿——10 000 公里/秒，主放电——50 000—150 000 公里/秒。

博依斯攝影机的雷电照像和同一時間的临近地面的電場强度

波形圖指出，擊穿的各級伴隨有電場脈動。在時間攝得的電流波形圖上顯示出在擊穿前已有不大的電流存在。主放電發展開始之後通過被擊目的物的電流急遽增強，可達到幾萬安培，隨後逐漸地減弱，經過10—100微秒之後，差不多完全停止。

經研究確定，大氣過電壓的值以主放電的電流決定之，至于前驅放電過程則影響落雷地點和設備的擊壞。

此外，會發現另外一種雷電形式——連續雷：逐級的或連續的擊穿，從地面上很高的物体起，發展到雲層，且均勻地形成主放電。主放電的電流不超過几千安培，但在十分之幾秒內連續不斷地流過。這樣的雷電不會招致過電壓的危險，但電流長時間地流過能使避雷器損壞。

設備擊壞率。為了判斷雷電過電壓的危險性，重要的是判斷在一個雷季內設備上可能遇到的雷擊次數。

多年的觀察確定，在蘇聯的高壓輸電線上，平均每100公里和20個雷電日內，有15—30次雷擊。在缺乏其他數據情況下，導則[文獻26]建議，在計算中可以按一個雷電日、一平方公里被害面積，採用直接雷擊設備的損壞率為0.1。所謂被害面積系指自目的物所佔面積起向四面各擴出4—5倍的面積，並要考慮到它的地形。此時，變電所的落雷次數，可依下列公式決定：

$$N_{ya} = n_{tp}(L+10h)(B+10h) \cdot 10^{-7}, \quad (69)$$

式中 n_{tp} ——雷電日數；

L, B, h ——建築物的長、寬和高，單位為公尺。

根據輸電線路的雷害分析(第26節)，可以說按公式(69)算出的落雷次數較實際為高。

第24節 大氣過電壓和雷電參數

在下部具有電荷的雷雲經過線路之上時，在導線和在其他的周圍物体上，由於靜電感應生有異性電荷，而同性電荷則沿着導線向各方面及大地流散。

从云層向地面發生逐級擊穿時，則在云層與雷道間發生電荷的重新分佈，並在導線和地面上的設備上增加異性電荷。主放電是在所發展的雷道達到地面物体之後開始的。雷道的遊離顯著地增加，而雷道內的剩餘電荷是由於電流通過接地物体時的異性電荷來補償的。這將形成主放電的中和的強烈遊離的“等強區分”(плазма) [校訂者按：氣體中放電。陽離子與電子密度相等的區分謂之 плазма 今暫譯為“等強區分”]。

電流通過被害物体迅速地增大，中和該物体所感應的電荷，且由於接 地裝置內電阻壓降和電感壓降，使它充電到與云層電荷同性的極高的電壓。如此，就產生了直接落雷的過電壓。

同時，在落雷處附近，導線中的電荷得到解放，且作為感應過電壓波沿線路傳導，其極性與雲相反。

在線路上所做的測量[文獻 7，第 528 頁]指出，感應過電壓通常不超過 300 仟伏，而 400 仟伏的過電壓是接近極限的，也就是說，比同一電流振幅的直接雷擊時所發生的過電壓小的多。

由於在主放電發生之前的瞬間，雷道中電荷和電流的分佈規律，以及在逐級擊穿的發展過程所準備的雷道中主放電電波的傳播規律的研究不足，感應過電壓的數值極難判斷。所以現在在計算線路中發生的直接雷擊過電壓時，由於線路導線上束縛電荷的釋放而產生的感應過電壓可以完全不計。最近在莫斯科動力學院(МЭИ) Л. И. 西羅金斯基領導下，擬定出對感應過電壓影響的計算方法。應當認為，這種方法在經過相應的試驗確定之後，必將應用到線路防雷保護的實際計算上去。

目前採用的對直接雷擊過電壓數值的估計方法，是把雷擊想像為沿均勻導線向落雷處襲來的電波。此種示意圖是野外測量雷擊電流的結果，同時在實用的計算中極為簡單。

許多雷電參數和雷電現象的測量結果，列入文獻 53, 55 中。下面列出實際計算防雷保護方式時所需各雷電參數的測量結果。

雷電波形，雷電等效回路圖在所有的防雷保護計算中佔極重的地位。這回路圖應尽可能反映出雷電主放電的物理過程，同時

在計算雷击的瞬时現象时应簡單而方便。通常采用的雷电等效回路圖是用 $z_0=200\text{--}400$ 欧姆的波阻形式，沿着它，具有已知波形和振幅的电压波襲来雷击地点，將物理过程極远地反射到雷电本身，至于更完善的回路圖的研究，將提供很大的实际兴趣。然而，若拿在自然条件下所測得的作为雷电电流的原始資料，則雷电波阻 z_0 的值在 200—400 欧姆之間的变化，对比較計算的結果，影响甚小，且为了能够相互比照，宜采用 z_0 的平均值。依照导則在所有的計算中雷电波阻采取 $z_0=300$ 欧姆。

雷电流振幅。現今測得的雷电流总数接近 10 000 次。大多数是在送电線路上用强磁性記錄器測量的，記錄器是以鐵粉和粘合物質压制而成，并裝在靠近避雷針接地引下綫和靠近避雷綫等处。落雷在避雷針上时有电流沿引下綫流过而使記錄器磁化。依照剩磁的大小和方向能够推測雷电流的振幅和極性。因为雷电流的振幅与避雷針的接地电阻有关系，所以为了便于比較測量的結果起見，照例將測得的电流值換算为“避雷針接地电阻为零”时的数值。此时雷电可認為是在無損失而且波阻 $z_0=300$ 欧姆的均匀綫路內流动的过电压波。

根据等值电路圖 14 通过接地电阻 R_g 的避雷針的电流振幅等于

$$I_R = \frac{2U_0}{R_g + z_0}.$$

当 $R_g=0$ 时，电流振幅 I_0 为 $I_0 = \frac{2U_0}{z_0}$

因之， $I_0 = \frac{R_g + z_0}{z_0} I_R$ ，

式中 I_R ——用記錄器实际測量的雷电流值；

I_0 ——按避雷針的接地电阻为零时的計算雷电流。

相应地沿雷电波阻向落雷点來到的电压波振幅計算值，采取

$$U_0 = \frac{I_0 z_0}{2}.$$

列寧格勒工业大学高压試驗室所制的計算雷电流綜合重复曲